

## 1.1 ฟังก์ชันของการแปรผันที่มีขอบเขต

ให้  $\Omega$  เป็นเซตเปิดมีขอบเขตของ  $\mathbb{R}^d$  และให้  $u \in L^1(\Omega)$  กำหนดให้การแปรผันรวม  $u$  เป็น

$$\int_{\Omega} |Du| = \sup \left\{ \int_{\Omega} u \nabla \cdot \varphi \right\} \quad (1.1.1)$$

เมื่อ  $\nabla$  เป็น (Lebesgue measure) และ  $C_0^1(\Omega, \mathbb{R}^d)$  คือปริภูมิของฟังก์ชันต่อเนื่องที่หาอนุพันธ์ได้และกระชับใน  $\Omega$

ตามที่ได้ถูกกล่าวถึงใน [11] สำหรับกรณีเฉพาะซึ่งเป็นที่น่าสนใจ  $u \in C^1(\Omega, \mathbb{R}^d)$  โดยการใช้ปริพันธ์แบบแยกส่วน

$$\int_{\Omega} u \nabla \cdot \varphi dx = - \int_{\Omega} \sum_{i=1}^d \frac{\partial u}{\partial x_i} \varphi_i dx \quad (1.1.2)$$

สำหรับทุก  $\varphi \in C_0^1(\Omega, \mathbb{R}^d)^d$  และ

$$\int_{\Omega} |Du| = \int_{\Omega} |\nabla u| dx \quad (1.1.3)$$

ฟังก์ชัน  $u \in L^1(\Omega)$  เรียกว่ามีขอบเขตการแปรผันใน  $\Omega$  ถ้า  $\int_{\Omega} |Du| < \infty$  โดยเรากำหนดให้  $BV(\Omega)$  เป็นปริภูมิของฟังก์ชันทั้งหมดใน  $L^1(\Omega)$  การแปรผันที่มีขอบเขต

**ตัวอย่าง 1.1.1.** ฟังก์ชัน  $f_1, f_2$  และ  $f_3$  ต่อไปนี้กำหนดโดย

$$f_1(x) = \sin x, \quad (1.1.4)$$

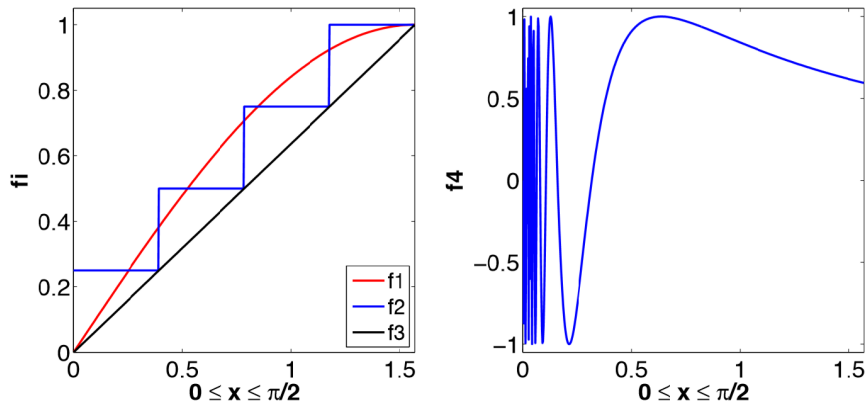
$$f_2(x) = \begin{cases} 1/4, & x \in [0, \Pi/8] \\ 1/2, & x \in [\Pi/8, \Pi/4] \\ 3/4, & x \in [\Pi/4, 3\Pi/8] \\ 1, & x \in [3\Pi/8, \Pi/2] \end{cases} \quad (1.1.5)$$

$$f_3(x) = \frac{2x}{\Pi}, \quad (1.1.6)$$

จาก  $BV(\Omega)$  ซึ่ง  $\Omega = [0, \Pi/2]$  และมีการแปรผันรวมมีค่าเป็น 1 ให้ฟังก์ชัน  $f_4$  กำหนดโดย

$$f_4(x) = \begin{cases} 0, & x = 0 \\ \sin 1/x, & x \in (0, a) \text{ และ } a > 0 \end{cases} \quad (1.1.7)$$

มีการแปรผันไม่จำกัดและไม่อยู่ใน  $BV(\Omega)$  ซึ่ง  $\Omega = [0, a]$  สำหรับทุก  $a > 0$



รูปที่ 1.1.1: ฟังก์ชันแปรผันมีขอบเขตทั้งสามฟังก์ชันที่มีการแปรผันรวมเหมือนกันเท่ากับ 1 และฟังก์ชันที่มีการแปรผันไม่จำกัด

ซึ่งสำหรับในหัวข้อนี้เราสามารถสรุปได้เป็นสูตรของคลอเลีย (Coarea formula)

**ทฤษฎีบท 1.1.** (Coarea formula) ให้  $\Omega \subset \mathbb{R}^d$  เป็นเซตเปิดและให้  $u \in BV(\Omega)$  และ  $L_\lambda = \{x \in \Omega \mid u(x) < \lambda\}$  เป็นระดับโดเมน (level domain) แล้ว

$$\int_{\Omega} |Du| = \int_{-\infty}^{\infty} Per(L_\lambda, \Omega) d\lambda$$

เมื่อ  $Per(L_\lambda, \Omega) = \int_{\Omega} |D_{x^{L_\lambda}}|$  คือ perimeter ของ  $L_\lambda$  ใน  $\Omega$  และ  $\chi^{L_\lambda}$  คือลักษณะเฉพาะ (characteristic) ของฟังก์ชัน  $L_\lambda$

โดยบทพิสูจน์สามารถดูได้ใน [11]

## บรรณานุกรม

- [1] T.F. Chan and J. Shen , “Mathematical models of local non-texture inpaintings”, SIAM Journal on Applied Mathematics, vol. 62, no. 3, pp. 1019–1043, 2001.
- [2] L. I. Rudin, S. Osher, E. Fatemi, “Nonlinear total variation based noise removal algorithms”, Physica D: Nonlinear Phenomena, vol 60, issues 1–4, pp. 259-268, 1992.
- [3] C.R. Vogel and M.E. Oman, “Iterative methods for total variation denoising”, SIAM Journal on Scientific Computing. vol. 17, pp. 227-238, 1996.
- [4] T. Goldstein and S. Osher, “The Split Bregman Method for L1-Regularized Problems”, SIAM Journal on Imaging Sciences. vol. 2, issue 2, pp. 323-343, 2009.
- [5] E.H. Andelson and C.H. Anderson and J.R. Bergen and P.J. Burt and J.M. Ogden. ”Pyramid methods in image processing”. 1984
- [6] David Salomon. Data Compression: The Complete Reference (4 ed.). Springer. pp. 281. 2007.
- [7] Zhou Wang, Alan Conrad Bovik, Hamid Rahim Sheikh and Eero P. Simoncelli, ”Image quality assessment: from error visibility to structural similarity,” in IEEE Transactions on Image Processing, vol. 13, no. 4, pp. 600-612, 2004.
- [8] A. N. Tikhonov and V. Y. Arsenin. Solutions of Ill-posed Problems. Wiston and Sons, Washington, D.C., 1977

- [9] B. Dacorogna. Introduction to the Calculus of Variations. Introduction to the Calculus of Variations, 2004.
- [10] N. Chumchob. A study of effective variational models and efficient numerical methods for image registration. University of Liverpool, UK 2010
- [11] E. Giusti. Minimal Surfaces and Functions of Bounded Variation. Monographs in Mathematics, Vol. 80. Birkhauser, 1984